

Simulando redes sem-fio com obstáculos usando o COOJA estendido

Manassés Ferreira¹

mfer@dcc.ufmg.br

¹Departamento de Ciência da Computação
Universidade Federal de Minas Gerais (UFMG)
Belo Horizonte, Brazil

Projeto Orientado em Computação - 2014/2

Professor: Clodoveu Davis e Marcos André Gonçalves

Orientador: Olga Goussevskaya

{clodoveu, mgoncalv, olga}@dcc.ufmg.br

Agenda

Trabalho Relacionado

COOJA - Contiki

Redes sem-fio com obstáculos

Trabalho Desenvolvido

UDGO

Automação e Análise

Computação distribuída

Resultado

Esperado

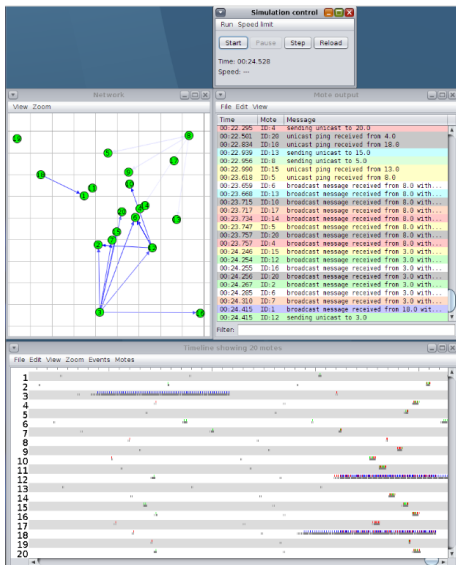
Prévia



Trabalho por Desenvolver

Gerar Resultados


Diminuir tempo de simulação otimizando COOJA

Simulador e SO

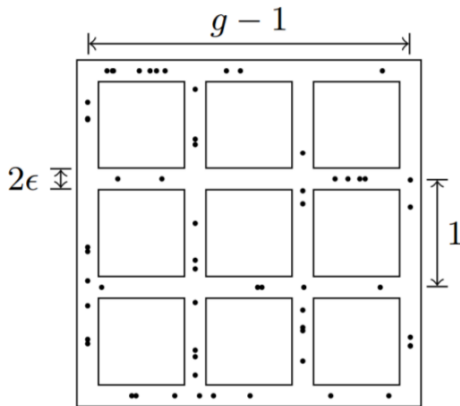




 This repository

Adam Dunkels 2002 Swedish
 2.7 / November 15, 2013

PUBLIC
 
 contiki-os / contiki

Modelo



(a) Deployment of nodes over a grid of size $g = 4$.

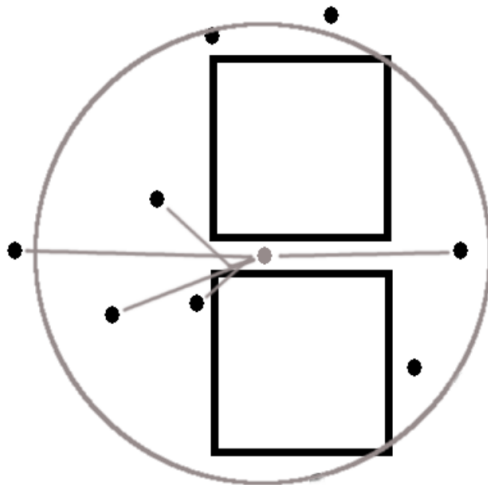
Raio Crítico de Transmissão

THEOREM 3. *Let \mathcal{N} be a set of nodes deployed uniformly at random in a lattice square of granularity g in the area $[0, g-1]^2$, with segments' width 2ϵ . Let also μ be the expected quantity of nodes per segment. The Critical Transmission Range for Connectivity, denoted by r_c is*

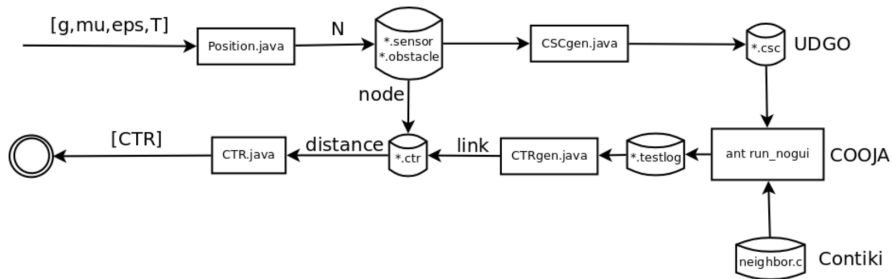
$$r_c = \frac{\ln(g^{a+1/2}) + \ln(\mu - 1)}{\mu}$$

for $a > 0$, whenever $\epsilon \geq \epsilon_c$.

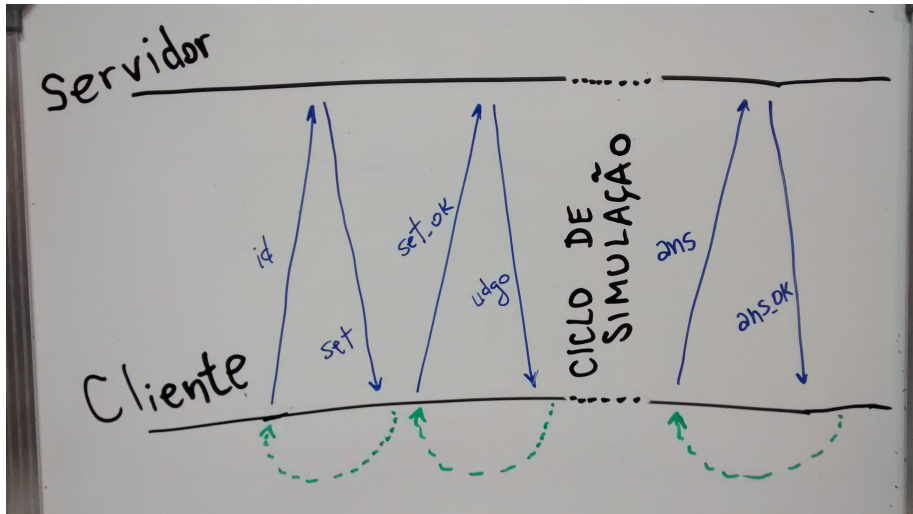
$$a=1$$

UDGM \wedge MRM

Ciclo de Simulação



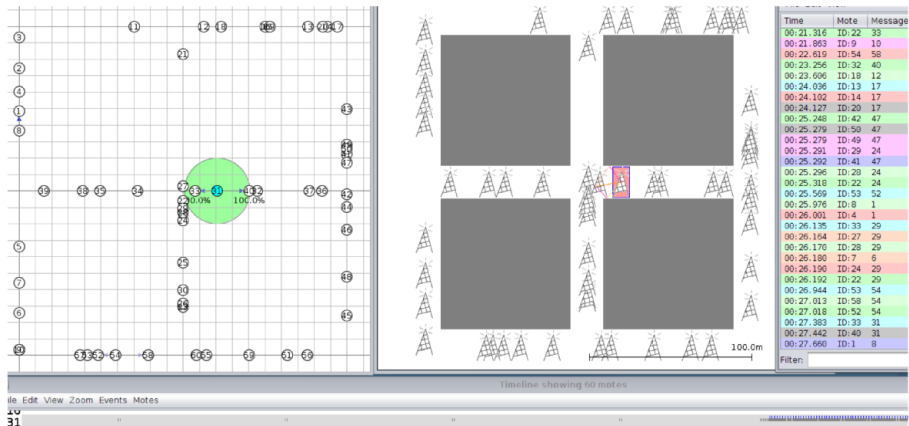
Protocolo Cliente-Servidor



Insights

1. Como o modelo poderia ser 'alimentado' pelo meio físico UDGO?
2. CTR experimental será menor que o analítico?
3. Propriedades físicas do MRM podem aumentar visibilidade? E a interferência?

Instância Pequena



$$T = 20, g = 3, \mu = 5, \epsilon = 10$$

$$CTR_{\text{experimental}} = 19.96$$

$$r_c = 46.82$$

Instâncias Maiores

T	20	30	35	28	70		
g	2	6	8	12			
μ	6	8	10	12	14	16	18
ϵ	10						

Um modo mais eficiente de computar visibilidade

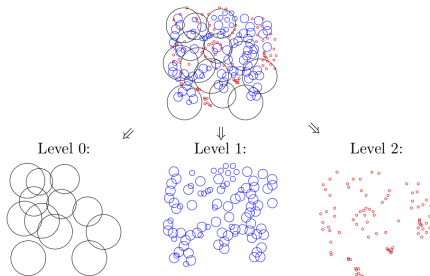


FIG. 2.1. Partitioning the disks into levels ($k = 2$).

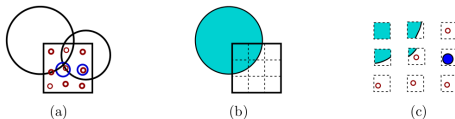


FIG. 2.5. Example of table lookups for a square S at level j in case $k = 2$. (a) shows 13 disks in $D(r, s)$ that intersect S : 2 disks of level less than j , 2 disks on level j , and 9 disks on level $j + 1$. (b) displays an independent set I consisting of 1 disk of level less than j . (c) illustrates that lookups are performed in 9 tables $T_{g',h}$ during the computation of the table entries $AT_{S,I}(S'_{g,h},*)$.

Ideia: 'Estratégia Deslocadora'

Perguntas

